

$\text{NO}_2$  の分光特性とレーザ・レーダへの応用上の問題点

Spectroscopic Properties of  $\text{NO}_2$  in Blue Region  
and Its Application to Lidar

杉本伸夫、竹内延夫

Nobuo Sugimoto, Nobuo Takeuchi

国立公害研究所

The National Institute for Environmental Studies

### 1. まえがき

前回のレーザ・レーダシンポジウムでフラッシュランプ励起色素レーザーを用いた差分吸収レーザ・レーダ(DIAL)による排煙中の $\text{NO}_2$ の測定について報告した。今回は、 $\text{NO}_2$ の吸収係数の温度依存性など、レーザ・レーダ測定に影響する $\text{NO}_2$ の分光特性の測定結果について報告する。

### 2. 高分解能吸収スペクトル

図1は、DIAL測定に用いられた波長域での $\text{NO}_2$ の高分解能吸収スペクトルである。このうちの吸収の極大に対応する463nm付近での高分解能透過スペクトルを図2に示す。これは、YAGレーザ-励起色素レーザーの共振器中にエタロンを入れ、スペクトル巾 $\sim 0.05\text{ cm}^{-1}$ で測定したもので、圧力波長スキャンを行なった。

図2の上は、 $\text{NO}_2$ のみ10 torrの場合で、スペクトルは多数の回転遷移から成っている。回転遷移の解析は行っていないが、このバンドの励起電子状態は $2B_2$ であることが、高分解能蓄光スペクトルから明るくなつた。一方、図2の下は1気圧中の $\text{NO}_2$ の透過スペクトルである。分解能は上図と同じである。コリジョンナルブロードニングにより、回転構造は分解できなくなつた。

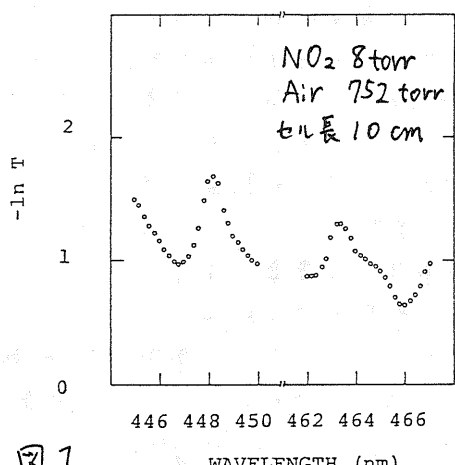


図1.

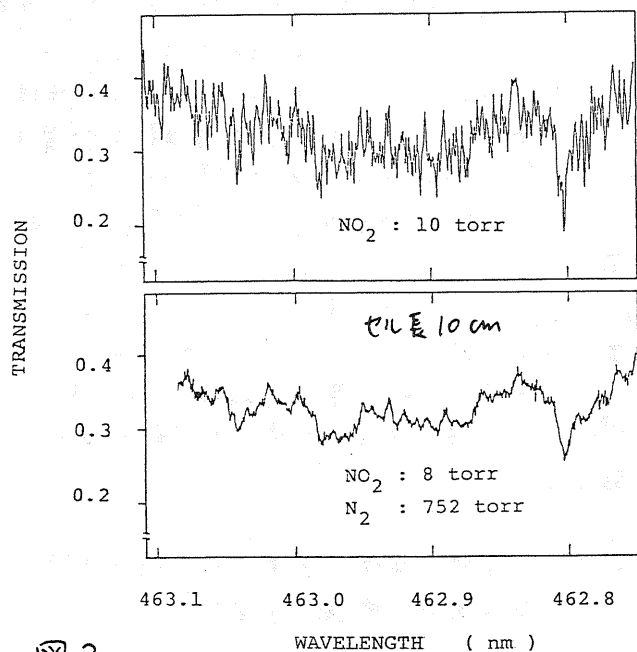


図2.

### 3. 低分解能吸収スペクトルの温度依存性

図3はDIAL測定に用いられた波長ペアの吸収係数の温度依存性を示したものである。波長分解能は $3\text{ \AA}$ で、これは、フラッシュランプ励起色素レーザーへの波長巾程度である。測定には $\text{NO}_2$  8 torr,  $\text{N}_2$  752 torrを封入した10 cmのセルを用い、コードヒーターにより加熱した。光源はWランプを用い、分光器で測定を行つた。低温側で吸収が小さくなつたのは、セル中で $2\text{NO}_2 \rightleftharpoons \text{N}_2\text{O}_4$ の平衡が

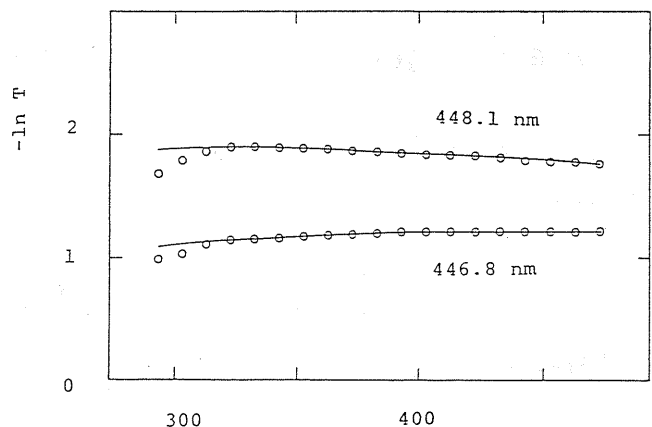


図 3-1

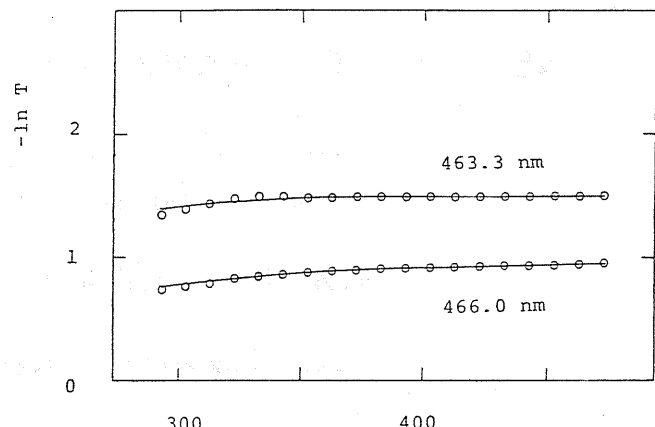


図 3-2

成り立つていて、低温で  $N_2O_4$  が増加するためである。100°C 以上では、99.9% が  $NO_2$  にたつていると考えてよい。分解能 3 Å で観測された吸収は実際には多數の回転遷移があることであり、それらの遷移が基底状態のエネルギーに応じて異なり、温度依存性を持っている。図 3 の実線は、観測された吸収の基底状態のエネルギーが、いくつの値  $E_0$  で代表されたと仮定し、分布関数  $T_0/T \exp(-E_0/T)$  で表されたとして、実験値にフィットしたものである。フィットは 100°C 以上で行なった。図 3 に見られるように、低分解能の DIAL 測定では 463 nm のペアの方が、448 nm のペアより温度の影響を受けにくいかわかった。100°C の温度変化は、DIAL 測定で得た  $NO_2$  濃度に対して、448 nm では約 2割、463 nm では約 1割の誤差をもたらす。これは、排煙測定では重要である。

#### 4. 蒸光スペクトル

蒸光法レーザーは成層圏  $NO_2$  の測定に有効であると考えられた。このような应用を目的として大気中  $NO_2$  の蒸光スペクトルを測定した。図 4 は 435 nm で励起した  $NO_2$  の蒸光スペクトルである。435 nm のバンドは Douglas によってアサインされた 435.8 nm のバンド  $A^2B_1 - X^2A_1, (090) - (000)$  に近いが、別のバンドであり、まだアサインされていない。高分解能蒸光スペクトルの測定結果では、このバンドの励起電子状態を  $2B_1$  であることがわかつた。435 nm はこの付近の吸収のピークでの吸収断面積は  $5.37 \times 10^{-19} \text{ cm}^2$  (Wilkinson 3 のデータによると) である。 $N_2$  ラマンと  $NO_2$  蒸光の比を図 4 の面積比から求め、 $NO_2$  全蒸光微分断面積を計算すると、 $(d\sigma/d\Omega)_{FT} = 1.3 \times 10^{-24} \text{ cm}^2/\text{sr}^{-1}$  となる。また、 $(d\sigma/d\Omega)_{FT} = (\sigma_{abs}/4\pi)\eta \cdot Q$  の関係から  $\eta = 1$  として  $Q$  を求めると、

$Q = 3.1 \times 10^{-5}$  が得られた。ここに述べた測定はあまり精密ではないが、この結果は、Hinkley の本<sup>1)</sup> の 5 章の Inaba による表 (435.8 nm の値) やら換算した値とよく一致する。

最後に、実験を手伝ってもらひ、左信州大学工学部の望月勉氏に感謝します。

<sup>1)</sup> E.D. Hinkley ; Laser Monitoring of the Atmosphere, Springer Verlag (1976)

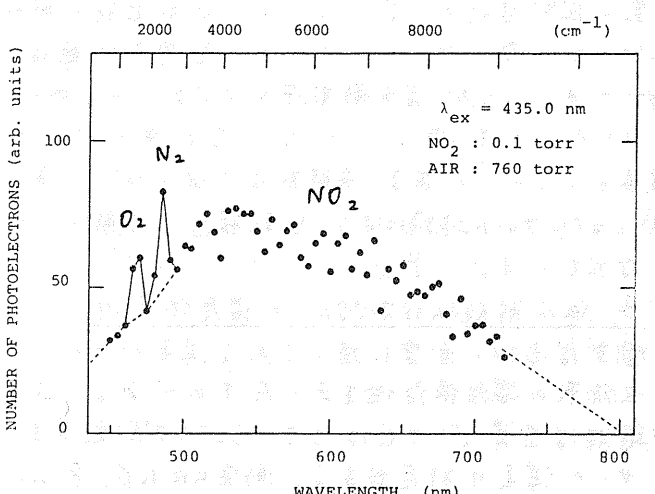


図 4. PMT は R928 を用いた。量子効率の補正は行なってない。